

طريقة جديدة لتقدير المستادين بتقنية الحقن الجرياني المستمر والتحسس بالبريق الكيميائي

عصام محمد علي شاكر تركي العوادي*

نعم شاكر تركي العوادي*

تاريخ قبول النشر 6 / 5 / 2009

الخلاصة:

يقدم البحث طريقة بسيطة وحساسة لتقدير المستادين باستخدام منظومة الحقن الجرياني من خلال قياس البريق الكيميائي الناتج من اكسدة اللومينال بفعل بيروكسيد الهيدروجين في وسط قاعدي بوجود المستادين بحجم 70 مايكرولتر على التيار الناقل من هيدروكسيد الصوديوم والذي يعطي بريق ازرق-بنفسجي له قمة انبعاث عند 425 نانومتر. تم الحصول على علاقة لتغير استجابة البريق مع التركيز للمستادين باستخدام معادلة الخط المستقيم وكان مدى منحني المعايرة يمتد من (60-5) مللي مول.لتر⁻¹ ومعامل التقدير 0.79% ومعادلة الدرجة الثانية بمدى من (80-5) مللي مول.لتر⁻¹ ومعامل التقدير 95.79% ولوحظ ان الاخير اكثر واقعية في التعبير عن كافة النتائج. تم التوصل الى حدود كشف (3) = 31.93 (S/N) مللي مول.غ/70 مايكرولتر من التخفيف التدريجي لاقل تركيز في منحني معادلة الخط المستقيم. تكرارية النتائج المستحصل عليها RSD < 5% لست قياسات متكررة. تم دراسة تأثير الايونات الموجبة والسلبية حيث ازيل تأثيرها باستخدام اعمدة صغيرة جداً معبأة بمبادل ايوني موجب او سالب ومرتبطة بعد صمام الحقن مباشرة.

الكلمات المفتاحية: هستادين، البريق الكيميائي، الحقن الجرياني المستمر

المقدمة :

المثبت لتحرير بيروكسيد الهيدروجين ليدخل في نظام البريق الكيميائي للتحسس وتقدير المستادين [8]. تميزت هذه البحوث الحديثة باستخدامها لاليات معقدة ومتقدمة، اما البحث الحالي فتم تقدير المستادين كونه عاملًا مساعداً في تكسير جزيئه البيروكسيد منتجة جذر البيروكسيل الحر والذي يهاجم جزيئه اللومينال لاعطاء بريقاً كيميائياً بوساطة منظومة حقن جرياني صممته محلياً، وسيتم دراسة المتغيرات المختلفة لايجاد افضل منحني وافضل حد كشف.

المواد وطرائق العمل: المواد الكيميائية

محلول قياسي للمستادين ثنائي الهيدروكلورايد (0.1 مللي مول.لتر⁻¹) شركة BDH: اذابة 2.2809 غم من المستادين ثنائي الهيدروكلورايد ($C_6H_9N_3O_2 \cdot 2HCl$) في 100 مل ماء مقطر و محلول اللومينال (1 مللي مول.لتر⁻¹) (Fluka): باذابة 0.17716 غم من 3- امينوفثالايل هيدرازيد في 1 لتر من محلول هيدروكسيد الصوديوم (0.2 مللي مول.لتر⁻¹) ومنه تحضر سلسلة من المحاليل المخففة التي تخفف بنفس المحلول الاخير، بيروكسيد الهيدروجين (3 مللي لتر⁻¹): استخدم H_2O_2 صناعي (شركة degussa) وتم امراره على متبادل ايوني سالب واخر موجب للتخلص من الايونات الموجبة

يُعد المستادين من الاحماض الامينية الاساسية الجوهرية والتي لا تنتج ولا تحول من قبل الكبد لذلك لا بد وان يتواجد في التغذية ليتوفر في جسم الكائن الحي. معظم المستادين يتواجد في اللحم والاسماك وكميّات قليلة من المستادين الحر يتواجد في النباتات والغذاء المخمر. يتحول المستادين في الطعام الى المستامين من خلال الفعل البكتيري لازالة مجموعة الكاربوكسيل الموجودة في المستادين، لذلك فان المستادين في جسم الكائن الحي يعد مقياساً ومؤشر مباشر للمستامين ومستواه في الانسجة يزداد كلما ازداد تواجد المستادين في الغذاء، ومن المعروف ان المستامين مسؤول لعدد كبير من العمليات الوظيفية في الجسم وزيادته تسبب الانتفاخ والاحمرار والحساسية وخاصة في المناطق الملتئبة بالجسم [1]، لذلك فقد اخذ تقدير المستادين مجالاً واسعاً في البحث العلمي واعتمدت اغلب طرائق التقدير على الكروماتوغرافيا السائلة عالية الاداء حيث قدر في سوائل الجسم [2] اضافة الى استخدام نفس التقنية في التقدير الكمي له بوساطة النظائر المشعة للمستامين [3] وتقدير العديد من الاحماض الامينية خلال تقديره بهذه التقنية [4] والهجرة الكهربائية الشعرية عالية الاداء [5] واستخدام تفاعل البريق الكيميائي وبالاقتران مع تقنية الحقن الجرياني المستمر لتقدير العديد من الاحماض الامينية اضافة الى المستادين [6] بالإضافة الى البريق الكيميائي المتولد كهربائياً [7] واستخدام انزيم هستادين او كسيبيز

*قسم الكيمياء - كلية العلوم - جامعة بغداد

ومنفذ لخروج نواتج التفاعل (المقطع المضيء في تفاعل البريق الكيميائي) وجلد اسود اللون معتم لتعطية الوحدة التحسسية لتقليل خلفية الانبعاث والمنظومة الالكترونية: انبوبة مضاعفة الفوتونات (نوع RCA 2055) ومجهز الفولتية (1.6-0) (France) كيلو فولت (نوع JOBIN YVON) (United detector technology (Dual channel optometer)) ومسجلة خطوط بيانية مزود بقلمين (U.S.A.) ضمن مدى (500-1) مللي فولت او (500-1) فولت (نوع Siemens) موديل (Germany) Kom pen sograph C1032 الكتروني يعمل على ترشيح الاستجابة وتقليل خلفية الانبعاث وتحسين نسبة الاشارة الى الضوضاء (S/N).

طريقة العمل

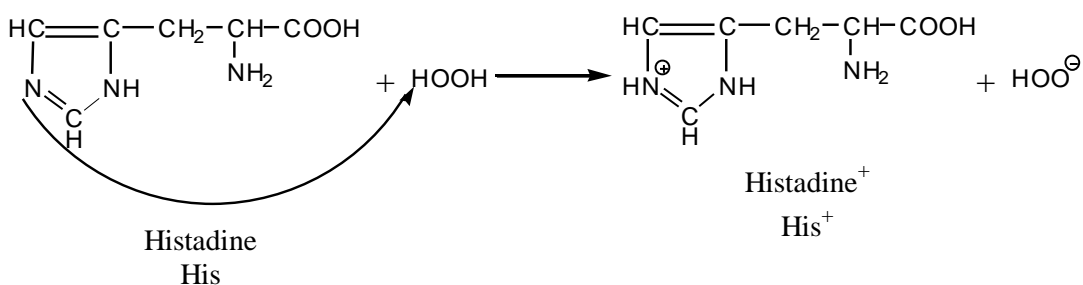
ت تكون منظومة التفاعل (شكل رقم(1)) لنظام البريق الكيميائي: لومينال-بieroوكسيد الهيدروجين-هيدروكسيد الصوديوم-هستادين من ثلاث خطوط: الاول يجهز بمحلول اللومينال (0.5 مللي مول لتر⁻¹) والخط الثاني محلول بieroوكسيد الهيدروجين (0.5 مللي مول لتر⁻¹) ويلتقى كلا الخطان معًا عند نقطة الالتقاء قبل وصولهم الى خلية التفاعل (البريق الكيميائي) وبسرعة جريان 2.0 مل. دقيقة⁻¹ اما الخط الثالث يمثل التيار الناقل من هيدرووكسيد الصوديوم (0.1 مول لتر⁻¹) وبسرعة جريان 1.5 مل. دقيقة⁻¹ والمؤدي الى صمام الحقن الذي يحقن من خلاله الانموذج من الهستادين بحجم 70 مايكرولتر (طول الملف 18.2 سم ونق 0.35 مليمتر). تلتقي محاليل الخطان في خلية التفاعل (زجاجية حلزونية سعة 100 مايكرولتر) ذات مدخلين ومنفذ لنواتج التفاعل (مصممة محلية) مؤدياً الى تحرر ضوء البريق الكيميائي بلون ازرق-مخضر بفعل عملية الاكسدة لجزئية اللومينال بوساطة بieroوكسيد الهيدروجين في وسط قاعدي ويوجود الهستادين والاستجابة المستحصلة عبرأ عنها بوحدة ناتومامبير او من خلال مسجلة الخطوط البيانية بوحدة مللي فولت، ومن المتوقع ان الميكانيكية المقترحة والتي تم اثباتها عملياً كما يلي [10,9].

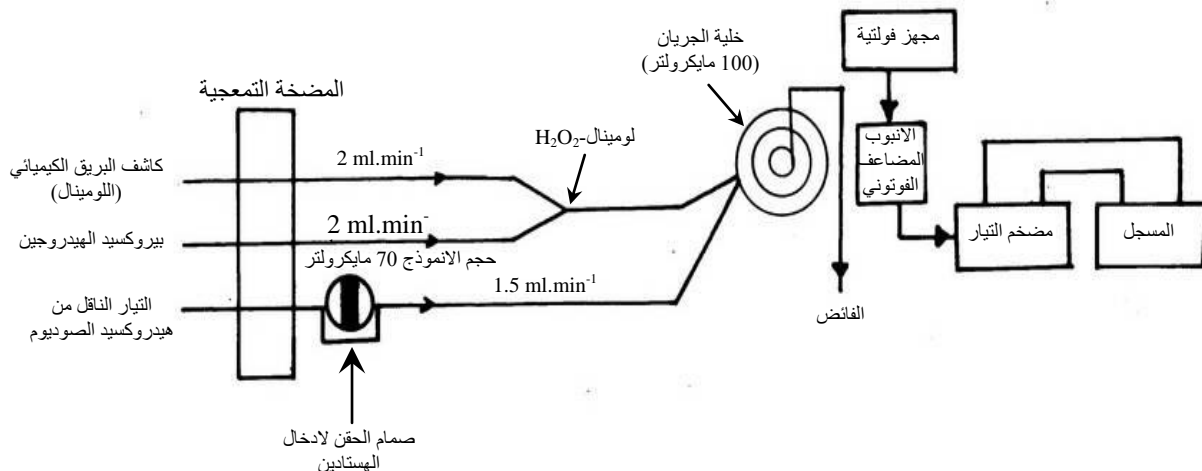
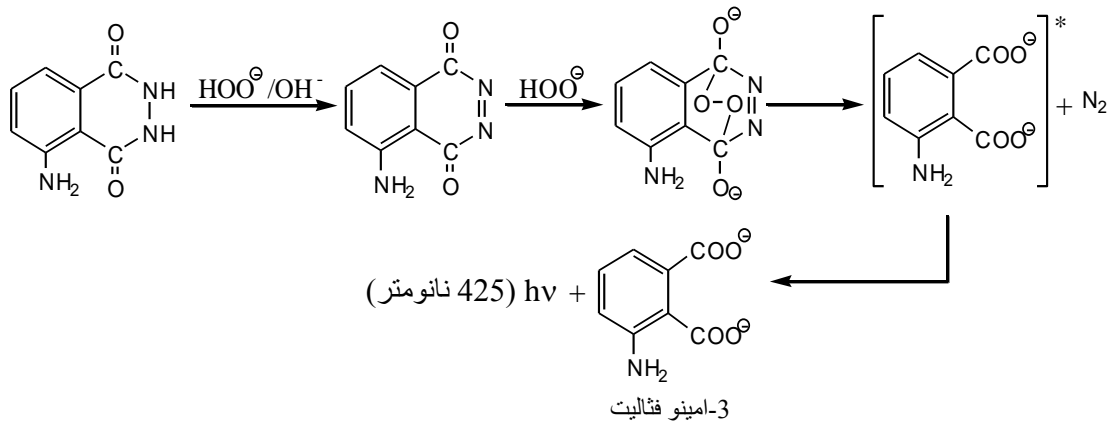
والسالبة ان وجدت لضمان عدم حدوث تلوث للمحاليل ثم تم تخفيف 170.07 مل من H_2O_2 (60%) و 17.64 مول لتر⁻¹ الى حجم 1 لتر و هيدرووكسيد الصوديوم (0.5 مول لتر⁻¹): اذابة 40 غم من NaOH (شركة Merck) في 2 لتر من الماء المقطر المغلي والمبرد، والاليونات الدخلية بتركيز 1000 مكم. مل⁻¹: اذابة Na^+ 1.8478 غم/500 مل من $NaNO_3$ و K^+ 1.2949 غم/500 مل من KNO_3 و Mg^{2+} اذابة 1.5255 غم/250 مل من Ca^{2+} و $Mg(NO_3)_2$ اذابة 1.4726 غم/250 مل من $Ca(NO_3)_2 \cdot 4H_2O$ و Fe^{3+} اذابة 3.617025 غم/500 مل من Fe^{2+} و $Fe(NO_3)_3 \cdot 9H_2O$ اذابة 1.7543 غم/250 مل من PO_4^{3-} و $FeSO_4(NH_4)_2 \cdot SO_4 \cdot 6H_2O$ اذابة 0.9423 غم/250 مل من $Na_2HPO_4 \cdot 12H_2O$ و Cl^- اذابة 0.7393 غم/500 مل من Na_2SO_4 و CO_3^{2-} اذابة 1.05146 غم/500 مل من KCl و $Na_2CO_3 \cdot 10H_2O$ و HCO_3^- اذابة 0.6885 غم/500 مل من $NaHCO_3$. جميع الاملاح ذات تقواة عالية ومجهزة من عدة شركات (Riedel BDH و Flucka A.G. و Merck M & B).

متبادل ايوني موجب نوع: Strong Cation Exchange Amberlite Resin IR-120(Na^+)
متبادل ايوني موجب نوع: Strong Anion Exchange Amberlite Resin IRA-400(Cl^-)

الاجهزة والادوات المستخدمة

مضخة تمعجية المائية المنشأ (نوع Ismatec) وانابيب ناقلة للمواد المتممة للتفاعل مصنوعة من مطاط السليكون او متعدد البروبيلين واخرى من التفلون بقطر داخلي (1 و 0.5) مليمتر على التوالي وصمام حقن (سداسي المنفذ) (نوع Rheodyne U.S.A.)، وصلة الانموذج من التفلون بقطر داخلي 0.7 مليمتر وباطوال مختلفة (حسب حجم الانموذج المطلوب) وقناني الكواشف (زجاجية) سعة 500 مل ومحفنة طبية بلاستيكية لحقن الانموذج (سعه 10 مل) وتوصيلات من مطاط السليكون لربط وتوصيل الانابيب وخليه زجاجية حلزونية الشكل لالقاء المحاليل المتممة للتفاعل (خلية التفاعل) ذات منفذين لدخول المحاليل





شكل (1): مخطط لمنظومة الحقن الجرياني لتقدير الهستادين بنظام: لومينال-OH-H₂O₂-هستادين

جريان مختارة لخطي اللومينال وبوروکسید الہیدروجین 2.0 مل.دقيقة⁻¹ وسرعة جريان التيار الناقل من هیدروکسید الصوديوم (0.1 مول.لتر⁻¹) 1.5 مل.دقيقة⁻¹ وعند حجم لانمودج محقق من الهستادين 80 مایکرولتر وسلسلة متغيرة من التراکیز (0.002-0.1) مول.لتر⁻¹ تم الحصول على النتائج المدونة في الجدول رقم (1).

النتائج والمناقشة:
الظروف الفضلی لمنظومة التفاعل
- المتغيرات الكيميائية:
تركيز اللومينال:

حضرت سلسلة محليل من اللومينال (0.05-0.1) مللي مول.لتر⁻¹ وعند تراکیز تجربی من بوروکسید الہیدروجین (0.4 مول.لتر⁻¹) وسرع

جدول (1): مقاييس تراکیز اللومينال لتقدير البريق: لومينال-OH-H₂O₂-هستادين

$r \pm S_{E_r}$	$S_{E_r} = \frac{1 - r^2}{\sqrt{n}}$	المحسوبة $t = \frac{ r \sqrt{n-2}}{\sqrt{1-r^2}}$	قيمة t الجدولية عند $\Delta = 95\%$ حدود ثقة 95% $n-2$	معامل الارتباط (r) ونسبة الخطأ ² %	معادلة الخط المستقيم $Y^{\wedge} = a + bx$	مدى تراکیز الهستادين مول.لتر⁻¹	تركيز اللومينال مللي مول.لتر⁻¹
0.9719±0.023	0.023	8.258 >> 2.776	0.9719 %94.46	-0.032+46.86x	0.025-0.0025	0.05	
0.9689±0.022	0.022	9.594 >> 2.447	0.9689 %93.88	0.063+324.85x	0.04-0.005	0.1	
0.9959±0.003	0.003	24.592 >> 2.571	0.9959 %99.18	0.43+553.29x	0.08-0.005	0.5	
0.9643±0.022	0.022	10.31 >> 2.306	0.9643 %93.00	1.22+238.48x	0.07-0.01	1	

حيث: y^{\wedge} = معدل ارتفاع استجابة البريق لثلاث قياسات متكررة ($n=3$) بوحدة نانو امبير (nA)

x = تراکیز الهستادين بوحدة مول.لتر⁻¹

Standard error of the correlation coefficient = S_{E_r}

الكيميائي)، كذلك الحال عند التراكيز الواطئة لبيروكسيد الهيدروجين لوحظ انخفاض في ارتفاع استجابة البريق (شكل رقم (2)) بالإضافة الى ان نسبة الاشارة الى الضجيج (S/N) واطئة جداً ولا يمكن تمييز الاستجابة المستحصلة بفعل التراكيز الواطئة له ويعد احد المواد الاساسية المتممة لتفاعل البريق لذلك تم اختيار 0.5 مول.لتر⁻¹ كافضل تركيز يعطي اعلى انباعات لضوء البريق.

المتغيرات الفيزيائية: حجم الانموذج المحقن

باستخدام التراكيز الفضلي للمواد المتممة لتفاعل: اللومينال (0.5 مللي مول.لتر⁻¹) -بيروكسيد الهيدروجين (0.5 مول.لتر⁻¹) وتركيز تجريبي للتيار الناقل من هيدروكسيد الصوديوم (0.1 مول.لتر⁻¹) وتركيز مختار من الهاستادين (0.03 مول.لتر⁻¹) واستخدام وصلات انموذج باطوال مختلفة (5 و 10 و 18 و 21 و 26) سم وقطر داخلي 0.7 ملم وسرعة جريان لخطي اللومينال وبيروكسيد الهيدروجين 2.0 مل.دقيقة⁻¹ والتيار الناقل لهيدروكسيد الصوديوم (0.1 مول.لتر⁻¹) 1.5 مل.دقيقة⁻¹ تم الحصول على النتائج المدونة في الجدول رقم (2) وشكل رقم (3) ومنه يمكن الاستنتاج زيادة انباعات البريق الكيميائي مع زيادة حجم مقطع الانموذج والحصول على استجابات بقلم حادة ومنتظمة وصولاً الى 70 مايكرولتر ومنه تم الحصول على اعلى استجابة مقارنة بالاستجابات الناتجة من حجوم لمقطوع الانموذج الاطوال (< 70 مايكرولتر) والتي تمتاز بعرض قممها وتشوهها (شكل رقم (3)) بفعل استمرار مرور المقطع المضى لتفاعل البريق امام المحسس على هذا الاساس تم اختيار 70 مايكرولتر للحصول على استجابات حادة ونفقة وبارتفاعات عالية فضلاً عن الاقتصاد في استهلاك المواد الكيميائية.

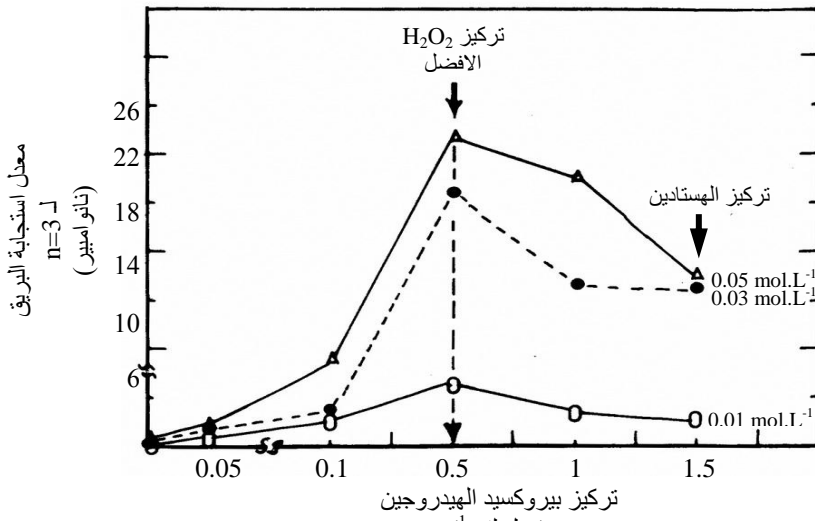
جدول (2): تأثير التغير في حجم مقطع الانموذج على ارتفاع الاستجابة لنظام: لومينال-H₂O₂-OH

هستادين	حجم مقطع الانموذج (مايكرولتر)	معدل ارتفاع الاستجابة \bar{y}_i (نانو امير)	الانحراف القياسي σ_{n-1} (n = 3)	الانحراف القياسي النسبي المنوي %R.S.D	حدود القناعة للتعبير عن ارتفاع الاستجابة لـ n-1 من النتائج وعند حدود ثقة 95%
20	3.24 ± 0.049	0.62	0.02	3.61	$y_i \pm t_{0.025} \frac{\sigma_{n-1}}{\sqrt{n}}$
39	8.43 ± 0.37	1.78	0.15	1.78	
70	11.92 ± 1.07	3.61	0.43	1.07	
80	11.40 ± 0.79	2.81	0.32	0.79	
100	10.98 ± 0.75	2.73	0.30	0.75	

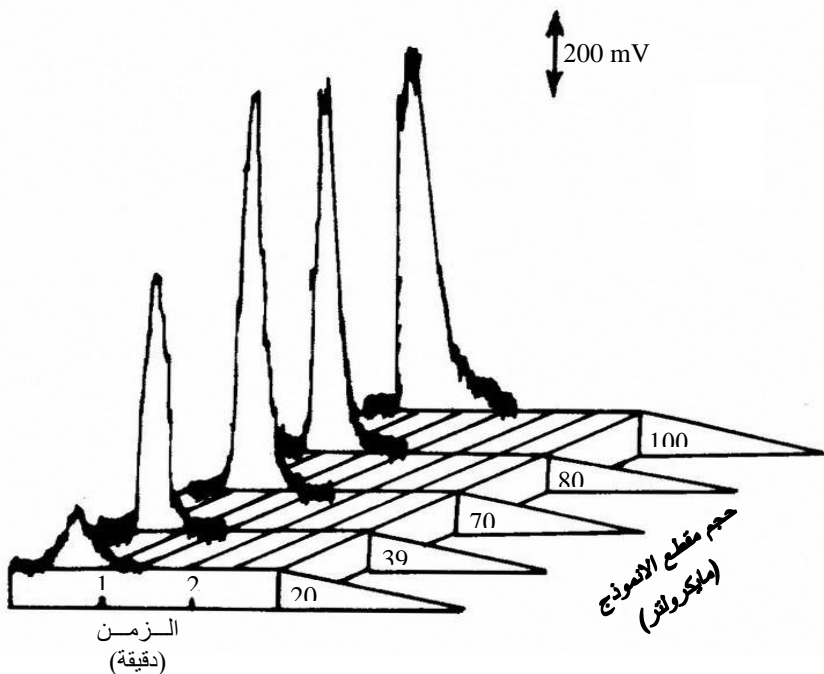
لوحظ من نتائج الجدول رقم (1)، انه عند التراكيز الواطئة لللومينال (اقل من 0.05 مللي مول.لتر⁻¹) وعند تراكيز متغيرة للهاستادين فإن قيمة الميل (الحساسية) واطئة ونسبة الخطية قليل ($r^2 > 0.95\%$) ومدى ضيق من التراكيز قد يعزى الى قلة القطع الباعثة للبريق بفعل قلة تركيز اللومينال (احد المواد الاساسية والمتممة لتفاعل البريق) مؤدياً الى انباعات ضعيفه لضوء البريق، كذلك الحال عند التراكيز العالية (اكبر من 0.05 مللي مول.لتر⁻¹) لوحظ انخفاض في ضوء البريق متمثلاً بانخفاض ارتفاع الاستجابات قد يعزى الى الزيادة العالية في جزيئات اللومينال مؤدية الى حصول تصادمات منتجة لجزئيات مثارة والفانص منها يتصادم مع جزيئات المواد المتفاعلية في المحيط والجزئيات المثاره مسببة الى فقدان طاقة الاثارة بشكل طاقة حرارية لا اشعاعية، بناءً على ذلك تم اختيار 0.05 مللي مول.لتر⁻¹ هو التركيز الافضل للحصول على افضل نتائج، وكما مدون في الجدول رقم (1).

تركيز بيروكسيد الهيدروجين

بتثبيت التركيز الافضل لمحلول اللومينال (0.05 مللي مول.لتر⁻¹، ولسلسلة محاليل بتراكيز متغيرة من بيروكسيد الهيدروجين (1.5-0.05 مول.لتر⁻¹ ولثلاث تراكيز متغيرة من الهاستادين (0.01 و 0.03 و 0.05 مول.لتر⁻¹) وحجم لانموذج محقن 80 مايكرولتر تم الحصول على الشكل رقم (2) الذي يوضح انه عند التراكيز العالية لبيروكسيد الهيدروجين (اكبر من 0.5 مول.لتر⁻¹) تم الحصول على خلفية انباعات عالية جداً واستجابات بارتفاعات منخفضة قد يعزى نتيجة لتكسر جزيئات الهاستادين بفعل التراكيز العالية للعامل المؤكسد (بيروكسيد الهيدروجين) بدلاً من تحرر جذر البيروكسيد السالب (-HOO) والذي يكون القطع الباعثة للبريق من خلال تكسر جزيئه اللومينال (ميكانيكية البريق



شكل (2): تأثير التغير في تركيز بيروكسيد الهيدروجين على معدل استجابة البريق

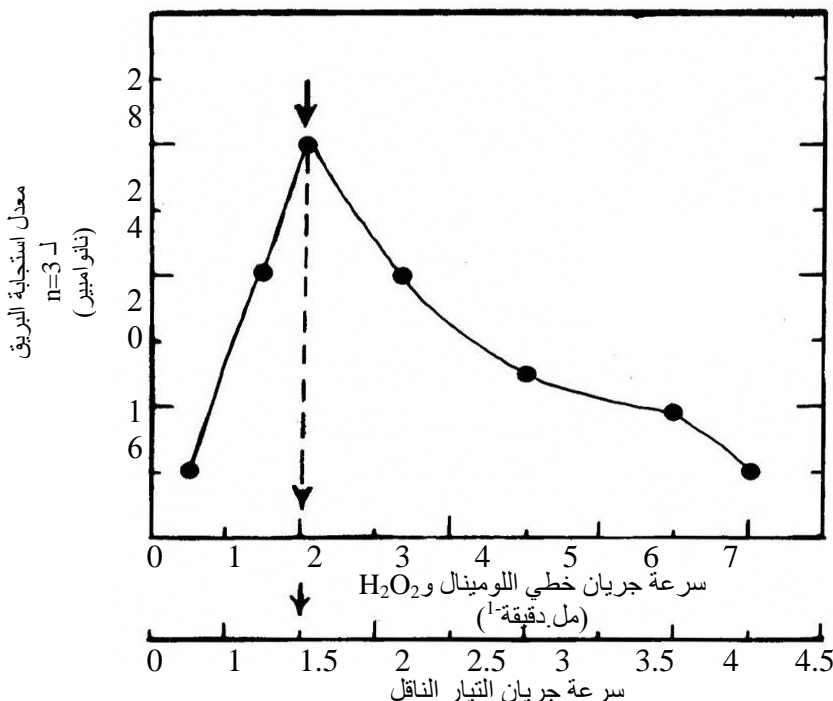


شكل (3): التغير في حجم مقطع الانموذج على ارتفاع وهيئة الاستجابة للبريق الكيميائي عند تقدير الـهستادين

الفيزيائية واهماها التشتت بفعل التنافس والحمل والتخفيف لمقطع الانموذج مع المواد المتممة للتفاعل وصولاً الى سرعة 2.0 مل.دقيقة⁻¹ لخطي اللومينال وبيروكسيد الهيدروجين و1.5 مل.دقيقة⁻¹ لخط التيار الناقل ثم يعقبه النقصان في ارتفاع شدة البريق عند السرع العالية جداً وقد يعزى ذلك الى سرعة خروج المقطع المضيء من خلية القياس وعليه يتم الحصول على استجابات بقلم حادة وسريعة ولكن واطنة الارتفاع وعليه تم استخدام 2.0 مل.دقيقة⁻¹ كافضل سرعة جريان لخطي اللومينال وبيروكسيد الهيدروجين و1.5 مل.دقيقة⁻¹ لخط التيار الناقل.

سرعة الجريان

باستخدام الظروف الفضلى لمنظومة البريق (شكل رقم (1)) من المتغيرات الكيميائية وتركيز مختار للـهستادين (0.03 مول لتر⁻¹) كانموذج حقن على خط التيار الناقل من هيدروكسيد الصوديوم (0.1 مول لتر⁻¹) واستخدام سرع جريان متغيرة (0.5-8) مل.دقيقة⁻¹ لخطي اللومينال وبيروكسيد الهيدروجين و(4.5-0.5) مل.دقيقة⁻¹ لخط التيار الناقل، تم الحصول على الشكل رقم (4) ويلاحظ الزيادة في انباع البريق متمثلاً بارتفاع الاستجابة مع الزيادة في سرعة الجريان بفعل التقليل من تأثير كافة المتغيرات



شكل (4): التغير في سرعة الجريان على معدل استجابة البريق لنظام: لومينال 0.5 مللي مول.لتر⁻¹- H_2O_2 0.5 مول.لتر⁻¹- OH^- 0.1 مول.لتر⁻¹-هستادين 0.03 مول.لتر⁻¹ بحجم 70 ميكرولتر
كانموذج محقن

(معادلة الخط المستقيم) وبمعامل ارتباط 0.9788 وكما مبين في الجدول رقم (A-3) (A-3) ولمدى من التراكيز (0.06-0.005) مول.لتر⁻¹ ولوحظ ان زيادة مدى التراكيز يؤدي الى ضعف في قيمة معامل الارتباط مما يوجب علينا ايجاد الموديل الرياضي الاكثر تعبيراً وواقعية في تمثيل النتائج المستحصلة عملياً والتي لو رسمت بالحالة الاعتيادية لاظهرت منحنى بيضوي (Parabola) وهذه هي صفات معادلات من الدرجة الثانية وباستخدام برامجيات [11] لايجاد معاملات المعادلة تم الحصول على النتائج المدونة في الجدول رقم (B-3) (B-3) وشكل رقم (B-5) (B-5) وبالاستناد على الطرق الاحصائية الحديثة تم معالجة كافة البيانات [16-12].

الموديل الرياضي لتغير استجابة البريق الكيميائي مع التركيز للهستادين وحدود الكشف لنظام: لومينال-بوروكسيد الهيدروجين-هيدروكسيد الصوديوم-الهستادين

حضرت سلسلة محليل للهستادين (0.08-0.005) مول.لتر⁻¹ بحجم 70 ميكرولتر بعد تثبيت كافة المتغيرات الكيميائية: اللومينال (0.5 مللي مول.لتر⁻¹-بوروكسيد الهيدروجين (0.5 مول.لتر⁻¹), والتيار الناقل من هيدروكسيد الصوديوم (0.1 مول.لتر⁻¹) باستخدام المنظومة المصممة محلياً (شكل رقم (1)) ولوحظ من التوزيع الطبيعي للنتائج المستحصلة عملياً (نانو امير) ضد تراكيز متغيرة للهستادين (تكرار كل قياس ثلاث مرات) ان هناك علاقة خطية (شكل رقم (A-5) (A-5)) تتطابق عليها معادلة الدرجة الاولى

جدول (A-3): ملخص لنتائج تغير الاستجابة للبريق الكيميائي مع التركيز باستخدام معادلة الدرجة الاولى وحدود الكشف

المعادلة الخط المستقيم $y = y_B + 3S_B$	حدود الكشف ميكروغم/70 ميكرولتر	معادلة الخط $D.L = \frac{3S_B}{slope}$	نطرياً من معادلة عملية من التخفيف	قيمة t المحسوبة من $t = \frac{ r \sqrt{n-2}}{\sqrt{1-r^2}}$	قيمة t الجدولية لـ 2 بحدود ثقة 95%	معادلة الخط المستقيم عند حدود ثقة $n-2 \approx 95$ $y^{\wedge} = a \pm S_a t + b \pm S_b t$ [x]	نهاية معنى المعايرة $10 = n$ (مول.لتر ⁻¹)	التراكيز المقاسة مول.لتر ⁻¹
198	6.42	31.93		13.49 >> 1.86	0.9788 %95.79	$0.021 \pm 0.039 + 373.334$ $\pm 51.427[x]$	0.06-0.005	0.005-0.08

y^{\wedge} = معدل استجابة البريق الكيميائي معبرة بارتفاع الاستجابة لـ $n=3$ ((CL.I(av.pk.hgt.(n=3))) ووحدة نانو امير (nA) [Histidine] = [x] مول.لتر⁻¹ و $D.L = \frac{3S_B}{slope}$ = حدود الكشف و S_B = الانحراف القياسي لعشرة قياسات من محلول بلانك $0.05 \pm y$ = قيمة الاستجابة لاوطى تركيز (حدود الكشف نظرياً) والمستحصل من معادلة الخط المستقيم و $r = \text{معامل الارتباط}$ و $r^2 = \text{معامل التقدير}$.

(H_1) والذي يبين ان العلاقة خطية بين تغير استجابة البريق مع التركيز وان قيمة $r \neq 0$.9788 وانما $r = 0.9788$.

من نتائج الجدول رقم (A-3) يمكن الاستنتاج: بما ان الفرض الاساسي (H_0) ان العلاقة لا خطية وان $t_{tab} > t_{cal}$ الا انه من النتائج المستحصلة لوحظ ان $t_{tab} < t_{cal}$ (1.349 < 1.86) لذا يرفض الفرض الاساسي ويقبل بالبديل

جدول (B-3): ملخص نتائج معادلة الدرجة الثانية [17] (Quadratic) لنقدير المستادين

قيمة t المحسوبة من $t = \frac{ r \sqrt{n-2}}{\sqrt{1-r^2}}$	قيمة t الجدولية $t_{n-2} \approx 1.86$	$r \% r^2$	معادلة Quadratic عند حدود ثقة 95% $y = a \pm S_a t + b \pm S_b t[x] + c \pm S_c t[x^2]$	مدى تراكيز معادلة الدرجة الثانية $n = 10$ مول.لترا ⁻¹	الترانكير المقاومة مول.لتر ⁻¹
14.72 >> 1.86	0.9820 %96.44		$-1.28 \pm 2.68 + 498.51 \pm 213.62[x] - 1987 \pm 3295.73[x^2]$	0.08-0.005	-0.005 0.08

يلاحظ من نتائج الجدول (B-3)

المثالى) وقيمة الفضلة او الخطأ واطئة ادى ذلك الى زيادة قيمة F وتم الاقتراب من الحالة المثلثية والتي تبين ان هناك ارتباط وثيق بين تغير استجابة البريق مع تراكيز المستادين وناتج العلاقة خط مستقيم لمدى معين من التراكيز (شكل رقم 5-5)).

ولتحليل المتغيرات للبيانات المستحصلة من معادلة الدرجة الثانية وبالاعتماد على النتائج المدونة في الجدول رقم (B-3) تم التوصل الى الجدول رقم (B-4) والتي لخصت فيه.

جدول (B-4): تحليل المتغيرات لنتائج معادلة الدرجة الثانية (Quadratic)

$F = \frac{S_1^2}{S_0^2}$	معدل مجموع المربعات Mean square Msq	درجات الحرية D_F	مجموع المربعات (SSq)	مصدر التباين (Source)
94.73	$S_1^2 = 219.032$	2	438.064	Regr (سبل الانحدار)
	$S_0^2 = 2.312$	7	16.184	Error (حول الانحدار)
		9	454.248	Total (الكل)

وبما ان قيمة F الجدولية ($F_7^2 = 4.74$) عند حدود ثقة 95%.

ومن النتائج المدونة في الجدول رقم (4) (B) لوحظ ان قيمة F المحسوبة اكبر بكثير من F الجدولية ($94.73 >> 4.74$) مما يدل على ان هناك فارق بالغ الاهمية وجوهري بين التباين بفعل الانحدار والفضلة (الخطأ) مؤدياً زيادة عالية لقيمة F والتي تعطي فكرة على العلاقة الوثيقة وان هناك ارتباط بالغ الاهمية في تغير استجابة البريق مع تراكيز المستادين وكما مبين في الشكل (B-5) (منحي بيضوي).

وعند اجراء مقارنة لتحليل النتائج بمعادلة الخط المستقيم من الصنف $y = a + bx$: حيث a: نقطة التقاطع و b: الانحدار يمثل حساسية الاستجابة

ان المدى الخطى الواسع (0.08-0.005) مول.

لترا⁻¹ يعطي دلالة على ان معادلة الدرجة الثانية أكثر واقعية في التعبير على كل النتائج المستحصلة عملياً وخاصة لمدى من التراكيز العالية وان قيمة معامل الارتباط العالية (0.9820) تقيس قوة العلاقة بين متغيرين ولا تبين ان هناك علاقة خطية كما في معادلة الدرجة الاولى كذلك تمثل قوة الارتباط الوثيق بين الموديل الرياضي المنتخب والقيم المستحصلة عملياً وعند استخدام الميل كمعيار للمقارنة بين الموديلين الرياضيين لوجد ان معادلة الدرجة الثانية

$\left(\frac{49851}{37333} = 1.34 \right)$ اكتفى حساسية في تفسير النتائج وخاصة عند التراكيز العالية بمقدار مرة ونصف تقريباً مما هو عليه لمعادلة الدرجة الاولى وللبرهنة على ذلك يتم متابعة الجدول رقم (4) بكافة فقراته (A و B) وتحليل المتغيرات [18].

جدول (A-4): تحليل المتغيرات لنتائج معادلة الدرجة الاولى

$F = \frac{S_1^2}{S_0^2}$	معدل مجموع المربعات Mean square Msq	درجات الحرية D_F	مجموع المربعات Sum of square (SSq)	مصدر التباين (Source)
182.32	435.154	1 = v_1	435.154	Regr (سبل الانحدار)
	2.387	8 = v_2	19.094	Error (حول الانحدار)
		9	454.248	Total (الكل)

ومن نتائج جدول رقم (A-4) والرجوع الى الجداول الخاصة بقيم F الجدولية [15] لوحظ ان قيمة $F_{v_1}^{v_2}$ مع درجات حرية $v_1 = 1$ و $v_2 = 8$ وعند حدود ثقة 95% مساوية الى 5.32 بناءً على ذلك فأن F_{tab} (الجدولية) $> F_{cal}$ (المحسوبة) ويمكن الاستنتاج ان هناك فرق بالغ الاهمية بين التباين بسبب الانحدار والفضلة (حول الانحدار) وكلما كان قيمة التباين بسبب الانحدار عالية (الحال

متناهية ومقارنة النتائج المستحصلة من المحاليل المحتوية على الايونات الدخيلة مع المحلول المرجع (تركيز ثابت للهستادين فقط) تم احتساب النسبة المئوية للتاثير على استجابة البريق الكيميائي وكما موضح في الجدول رقم (A-6) و(B).

جدول (A-6): نتائج تاثير الايونات الدخيلة الموجبة على البريق خلال تقدير الهستادين بتركيز 0.02 مول.لتر⁻¹

الايون الموجب (%)						
Fe ²⁺	Fe ³⁺	Ca ²⁺	Mg ²⁺	K ⁺	Na ⁺	التركيز
12.34	48.68	5.32	2.53	0.22	0.89	1
30.68	65.76	6.78	4.67	0.32	1.48	5
65.67	88.66	6.98	5.56	0.56	2.32	10

جدول (B-6): نتائج تاثير الايونات الدخيلة السالبة على البريق

الايون السالب (%)					
HCO ⁻	CO ₃ ²⁻	Cl ⁻	SO ₄ ²⁻	PO ₄ ³⁻	التركيز
+1.68	-2.34	-20.32	-58.42	-29.32	1
+30.42	-50.62	-11.22	-1.92	-11.32	5
+55.32	+16.86	-6.42	+89.42	+44.53	10

يمكن الاستنتاج ان المنظومة ذات حساسية عالية لان تتحسن بكثرة الفوتونات الصادرة من نظام البريق مما كانت قليلة بفعل وجود ايون دخيل وتعطي دلالة واضحة لاصحادة النظر بنقارة المواد الكيميائية والتي قد تعطى فوتونات ويمكن اعتماد هذا النظام لقياس التلوث الايوني (الايونات الموجبة او السالبة) مما كانت بتركيز ضئيلة يقابلها في نفس الوقت الانتقائية العالية لهذا النظام اتجاه بعض الايونات الموجبة مثل الحديدوز (II) والحديدك (III) وكافة التركيز جدول رقم (A-6) كذلك الحال بالنسبة للايونات السالبة حيث كانت النسبة المئوية لتاثير التداخل عاليه ولجميع الايونات الدخيلة السالبة (جدول رقم (B-6)). وقد تعزى الزيادة في ارتفاع البريق الكيميائي الى قابلية بعض الايونات (الموجبة او السالبة) الى زيادة معدل سرعة التفاعل لنظام البريق او الى قابلية بعض الايونات وخاصة السالبة كونها عوامل مؤكسدة تعمل على زيادة اكسدة جزيئه البريق (اللومينال) وان اكثر الايونات اخماداً لتفاعل البريق هو الكبريتات (1 مكم.مل⁻¹) وقد يعزى مقدار النقيصة في ارتفاع الاستجابة الى استهلاك جزء من بيروكسيد الهيدروجين قبل تفاعل

(y_i) مقابل التركيز (x_i) والتي اعطت فضلة متبقية (McFieas لمدى تقارب القيم العملية y_i من القيم المختمنة y^* عالية (1.60) والتي تساهم في اضعاف الخط المستقيم الذي يمثل النتائج اما المعادلة $y = a + bx + cx^2$ فكانت الفضلة المتبقية قليلة (1.50) وهذا معناه تطابقاً اكثراً وترتبطاً افضل لذا كان معامل الارتباط قد تحول من 0.9788 للخط المستقيم الى 0.9820 لمعادلة من الدرجة الثانية.

التكرارية

تم فحص دقة وتكرارية نتائج تقدير الهستادين لنظام: لومينال-بيروكسيد الهيدروجين-هيدروكسيد البوتاسيوم-هستادين من خلال احتساب قيم الانحراف القياسي النسبي المئوي لثلاث تركيز كما موضح في الجدول رقم (5) ولست قياسات متكررة لكل تركيز ولوحظ ان قيمة %R.S.D. من 5%.

جدول (5): تكرارية نتائج تقدير الهستادين بواسطة تفاعل البريق الكيميائي

$\bar{y} \pm t \frac{\sigma_{n-1}}{\sqrt{n}}$ عند حدود ثقة % وـ $n-1$	المعدل ال Kesrari %R.S.D	σ_{n-1}	عدد الاخذ (n) (ملي.فول)	تركيز الهستادين مول.لتر ⁻¹
7.49 ± 0.24	3.07	0.23	7.49	6 0.02
12.07 ± 0.59	4.64	0.56	12.07	6 0.03
18.69 ± 0.84	4.28	0.80	18.69	6 0.05

تأثير الايونات الدخيلة
من خلال التجارب التي اجريت خلال تقدير الهستادين لنظام: لومينال-بيروكسيد الهيدروجين-هيدروكسيد البوتاسيوم-هستادين تم دراسة فيما اذا هناك تاثير لبعض الايونات الموجبة او السالبة على نظام البريق الكيميائي المكون بفعل اكسدة جزيئه اللومينال بواسطة بيروكسيد الهيدروجين بوجود الهستادين وفي وسط القاعدي مما قد يؤدي الى انخفاض او ارتفاع في الضوء المنبعث من تفاعل البريق الكيميائي وهذا يعتمد على طبيعة سير التفاعل (خواص الايون الدخيل) وحسب ميكانيكية التفاعل، ومن الايونات التي تم انتقاءها والمعتمد وجودها في الاوساط البالغولوجية:
الايونات الموجبة: Na⁺ و K⁺ و Mg²⁺ و Ca²⁺ و Fe²⁺ و Fe³⁺
الايونات السالبة: PO₄³⁻ و SO₄²⁻ و Cl⁻ و CO₃²⁻ و HCO₃⁻

تم اجراء الدراسة باستخدام تركيز ثابت للهستادين (0.02 مول.لتر⁻¹) في اربعة قناني سعة 100 مل والمحتوية على تركيز متغيرة من الايون الدخيل (1 و 5 و 10) مكم.مل⁻¹ في القناني 2 و 3 و 4 و اعادت القننية الاولى المحتوية على الهستادين فقط هي المرجع وبتكرار القياس لثلاث مرات

المناقشة:

قدم البحث الحالي نمطاً جديداً لتقدير الاحماض الأمينية ونخص بالذات جزيئه الهستادين والتي استخدمت مباشرة لتحفيز البريق الكيميائي في الوسط القاعدي لجزيئه اللومينال بـميكانيكية من المحتمل انها مشابه للميكانيكية الاعتيادية للبريق لتكسير جزيئه البروكسيد وتكونين الجذر السالب الحر للبروكسيد والذي يؤدي الى سلسلة من الخطوات لتكسير جزيئه اللومينال باعثاً البريق الكيميائي. قدم البحث حدود كشف واطئة بطريقة مبسطة وأكثر حساسية وبآلية مصممة محلياً لتقدير الهستادين بحدود 31.93 مايكروغرام لأنموذج محقن بحجم 70 مايكرولتر في المحاليل المستخدمة خلال هذا البحث.

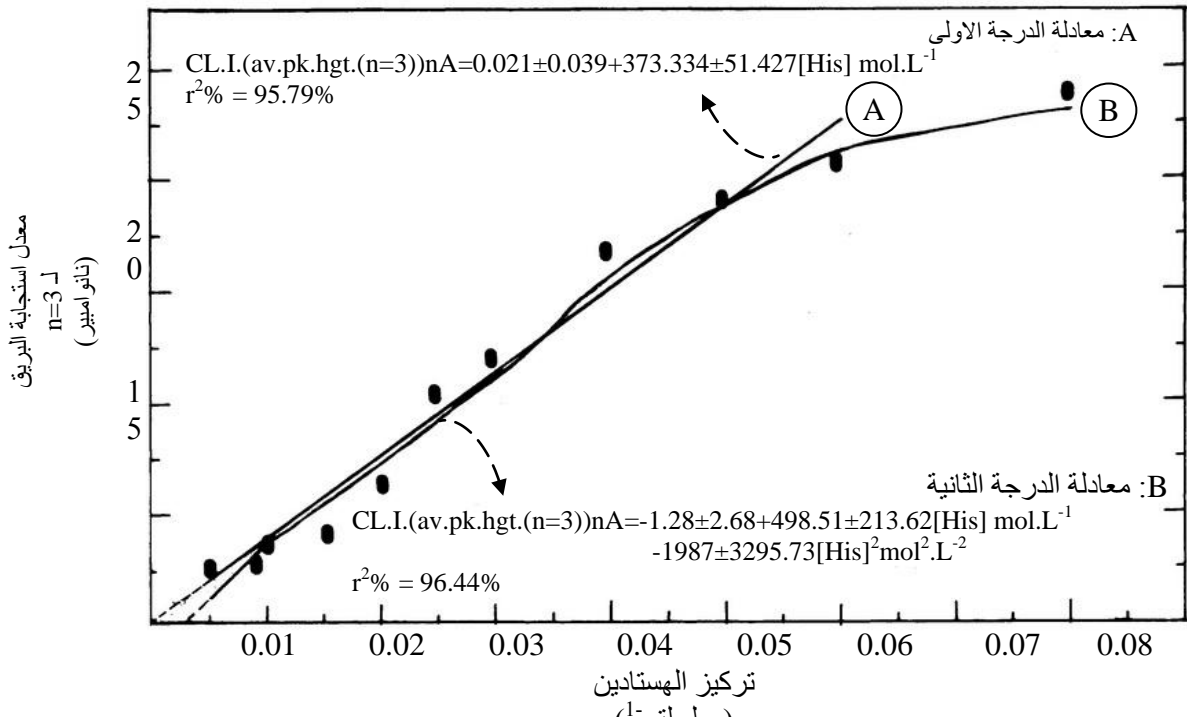
امتازت الطريقة بامكانية الاستخدام لمعادلة الدرجة الاولى من صنف $y=a+bx$ ومعادلة من الدرجة الثانية² $y=a+bx+cx^2$ حيث اعطت الطريقتين امكانية التطبيق باستخدامهما مع مفاضلة معادلة الدرجة الثانية على معادلة الدرجة الاولى وهذا يعد من الاساليب الحديثة في المقاربة الرياضية لهذا النوع من البحوث، والعمل مستمر في ايجاد تطبيقات مناسبة لاستخدام هذا التفاعل والذي لم يدون في أي ادبية منشورة، وللمقارنة فان حدود الكشف التي تم التوصل اليها تفوق ما مدون في الابحاث المذكورة ضمن المقدمة (حدود الكشف تتراوح بين 10^{-5} - 10^{-7} مول.لتر⁻¹) اخذين بنظر الاعتبار بساطة الآلية المستخدمة مقارنة بالآليات المستخدمة في مصادر المقدمة. ويعد هذا البحث نواة لحالة بحوث مستمرة.

نظام البريق: لومينال-بروكسيد الهيدروجين-هيدروكسيد البوتاسيوم-هستادين.

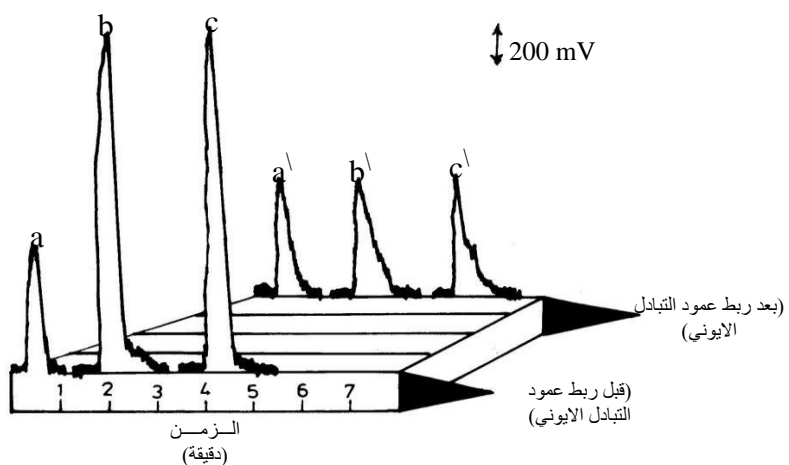
تأثير استخدام اعمدة مصغرة للتبدل الايوني

تم اختيار اسلوب المبادلات الايونية في اعمدة صغيرة وباقطرار داخلية تقارب اقطار الانابيب المستخدمة في الوحدة المتشعبة وذلك لبساطتها وامكانية استخدامها لمرات متعددة في نظام الامتحنة وقد استخدم راتنج من نوع Amberlit-IR-120 للايونات الموجبة

وAmberlit-IRA-400 في الجدول رقم (A-6) وشكل رقم (6-6) لوحظ ان اكثراً الايونات الموجبة تدخلأ هو الحديديك(III) على هذا الاساس تم استخدام عمود مملوء بمبادل ايوني موجب بابعد 10 سم وقطر داخلي 2 ملم (ظروف تجريبية) علماً ان العمود مربوط بعد نقطة الحقن مباشرة وبعد امرار الانموذج (الحديديك(III) بتركيز 10 مكغم.مل⁻¹) بوجود الهستادين بتركيز 0.02 مول.لتر⁻¹) لوحظ ان المزاح من العمود هو الهستادين فقط (شكل رقم 6-6b)، كذلك الحال باستخدام عمود مملوء بمبادل ايوني سالب بابعد تجريبية (9 سم وقطر داخلي 2 ملم) وبصيغة $(CH_3)_3OH^-RN^+$ وتمرير انموذج يحتوي على اكثراً الايونات السالبة تدخلأ (ايون الكبريتات بتركيز 10 مكغم.مل⁻¹) وبوجود الهستادين (0.02 مول.لتر⁻¹) لوحظ ايضاً ان المزاح من العمود هو الهستادين فقط وتم البرهنة على ذلك من خلال الاستجابة المستحصلة له (شكل رقم 6-6c). يمكن الاستنتاج ان العمود المملوء بمبادل ايوني (سالب او موجب) ذو كفاءة عالية في التخلص من الايونات الدخيلة (السالبة او الموجبة).



شكل (5): علاقة تغير معدل استجابة البريق مع التركيز للهستادين باستخدام: A: معادلة الخط المستقيم (الدرجة الأولى) B: معادلة الدرجة الثانية



شكل (6): تأثير الايونات الدخلية على ارتفاع وهيئة الاستجابة للبريق لنظام: لوميتال (0.5 مللي مول.لتر⁻¹)-بيروكسيد الهيدروجين (0.5 مول.لتر⁻¹)-OH (0.1 مول.لتر⁻¹)-هستادين (0.02 مول.لتر⁻¹) بوجود الحديد(III) او الكبريتات.

a : ارتفاع وهيئة استجابة الهستادين قبل وبعد ربط عمود التبادل الايوني على التوالي.

b : ارتفاع وهيئة استجابة الهستادين بوجود الحديد(10 مكم.مل⁻¹) قبل وبعد ربط عمود التبادل الايوني على التوالي.

c : ارتفاع وهيئة استجابة الهستادين بوجود الكبريتات (10 مكم.مل⁻¹) قبل وبعد ربط عمود التبادل الايوني على التوالي.

- 2- Miura, T., Tateda, N. and Matsuhisa, K., 2005. "Histidine in body fluid: specific determination by HPLC", Encyclopedia of

- المصادر:
1- Lee, N.S., Fitzpatrick, D., Meier, E. and Fisher, H. 1981. Agents Actions, 11, 307.

- 9-** Morrison,R.T.and Boyd,R.N. 1991. "Organic chemistry",Allyn and Bacon Inc.5thEdition,Toronto, 1345.
- 10-** White, E.H. and Roswell, D.F. 1985. "In Chem. and Bioluminescence", Dekker (J.G. Burr. Ed.), New York, 215-236.
- 11-** Goel, B.S., Prakash, S. and Lal, R. 1986. "Mathematical statistics", K.K. Mittal,1st Ed.,New York, 108.
- 12-** Miler, J.C. and Miller, J.N. 1988. "Statistics for analytical chemistry", John Wiley and N.Y. Sons, 2nd Ed., 23-50.
- 13-** Turkie, N.S. 2005. "New mode for the study of chemiluminescence reaction by tracking via multidetection points through optical fibers in a completely newly designed cell", Thesis Ph.D., University of Baghdad, 105-113.
- 14-** Book, S.A. 1978. "Essential of statistics", McGrow-Hill book company, New York, 50-58.
- 15-** Murdoeh, J. and Barness, J.A. 1974. "Statistical tables", Macmillan, 2nd Ed., 54-60.
- 16-** Sharma, S.D. 1989. "Operations research and statistical analysis", Published by N.N. Kedar & U.P. Co-Meerut, 1st Ed., India, 88-102.
- 17-** Yamashiro, N., Uchida, S., Satoh, Y., Morishma, Y., Yokoyama, H., Satoh, T., Sugama, J. and Yamada, R. 2004. "Determination of hydrogen peroxide in water by chemiluminescence detection by quadratic equation", Journal of Nuclear Science & Technology, 41(9), 890-897.
- 18-** Guide, A.B. 1997. "Practical Statistics for the analytical scientist", T.J. Farrant, 1st Ed., Laboratory of the government chemist, Teddington, Middlesex, UK., 21-23.
- 3-** chromatography, Marcel Dekker, pp.761-763.
- 3-** Ortiz, J., Gomez, J., Torrent, A., Aldavert, M. and Blanco, I. 2000. "Quantitative radioisotopic determination of histidine decarboxylase using high performance liquid chromatography", Analytical Biochemistry, 280(1), 111-117.
- 4-** El-Barshy, A. M. and Al-Ghannam, S. M. 1997. "High performance liquid chromatography determination of some amino acid after derivatization with 2-hydroxy-1-naphthol-dehyde", Analyst, 122, 147-150.
- 5-** Hermann, K. and Abeek, D. 2000. "Determination of histidine and urocanic acid isomers in the human skin by high performance capillary electrophoresis", J. chromatogr B Biomed. Sci. Appl., 749(1), 41-47.
- 6-** Costin, J.W., Francis, P.S. and Lewis, S.W. 2003. "Selective determination of amino acids using flow injection analysis coupled with chemiluminescence detection", Analytica Chimica Acta, 480(1), 67-77.
- 7-** Zhu, L.D., Li, Y.X. and Zhu, G.Y. 2002. "Flow injection analysis of histidine with enhanced electrogenerated chemiluminescence of luminol", Chinese Chemical letters, 13(11), 1093-1096.
- 8-** Kiba, N., Koga, A., Tachibana, M. and Tani, K. 2006. "Flow injection determination of L-histidine with an Immobilized histidine oxidase from *Brevibacillus borstelensis* KAIT-022 and chemiluminescence detection", Analytical Sciences, 22(1), 95-98.

New Method for the Determination of DL-Histidine by FIA and Chemiluminometric Detection

*Issam M.A. Shakir** *Nagam S. Turkey**

*Chemistry department-College of Science-University of Baghdad

Abstract:

This paper present a simple and sensitive method for the determination of DL-Histidine using FIA-Chemiluminometric measurement resulted from oxidation of luminol molecule by hydrogen peroxide in alkaline medium in the presence of DL-Histidine. Using 70 μ l. sample linear plot with a coefficient of determination 95.79% for (5-60) mmol.L⁻¹ while for a quadratic relation C.O.D = 96.44% for (5-80) mmol.L⁻¹ and found that quadratic plot in more representative. Limit of detection was 31.93 μ g DL-Histidine ($S/N = 3$), repeatability of measurement was less than 5% ($n=6$). Positive and negative ion interferences was removed by using minicolumn containing ion exchange resin located after injection valve position.

0	1
2	3
4	5
6	7
8	